

А. В. БУШ, Л. Н. КОЩЕЕВ

(Новосибирск)

## БЛОК ФИКСАЦИИ ПОТЕНЦИАЛА НА МЕМБРАНЕ КЛЕТКИ

Метод фиксации потенциала (ФП), как известно [1], является одним из основных приемов исследования электровозбудимых мембран, который позволяет определять количественные характеристики их ионных каналов. Исследования по этому методу проводятся с применением электронной аппаратуры, осуществляющей удержание мембранных потенциала на заданном уровне и измерение тока, протекающего в этом случае через мембрану клетки.

В данной статье рассматривается блок ФП, используемый нами в системе, описанной ранее [2]. Схема блока ФП реализована на интегральных микросхемах и позволяет осуществлять режимы ФП и фиксации тока, измерение сопротивления используемых микроэлектродов непосредственно в экспериментальной установке, контроль их введения в клетку, автоматическое (от системы) включение режимов ФП и фиксации тока, калибровку измерительных цепей блока.

Функциональная схема блока фиксации (рис. 1) состоит из следующих узлов: двух идентичных микроэлектродных усилителей  $Y_1$  и  $Y_4$ , преобразователя тока  $Y_2$ , схемы сравнения и формирования сигнала ошибки  $Y_3$ , инвертирующего каскада  $Y_5$ , схемы определения сопротивления микроэлектродов и калибратора  $Y_6$ .

Основной принцип работы блока фиксации (в режиме ФП) заключается в следующем: на  $Y_3$  через  $Y_5$  подается командный потенциал  $V$ , который сравнивается с внутриклеточным потенциалом, регистрируемым микроэлектродным усилителем  $Y_1$ . Разность потенциалов между этими сигналами усиливается, инвертируется, и через микроэлектрод  $\mathcal{E}_2$  на клетку подается ток, который удерживает внутриклеточный потенциал равным  $V$ . Ток, необходимый для удержания мембранных потенциала на заданном уровне, протекает через мембрану и последовательно включенные с ней индифферентный электрод  $\mathcal{E}_n$  и измеритель тока  $Y_2$ . Поскольку  $U(t)$  пропорционально току, протекающему через мембрану, то этим обеспечивается управление фиксируемым током.

Усилитель  $Y_4$  служит для контроля введения в клетку микроэлектрода  $\mathcal{E}_2$  и для измерения сопротивления микроэлектродов. Каскад  $Y_5$  инвертирует командный потенциал  $V$ , поступающий с выхода ЦАП.

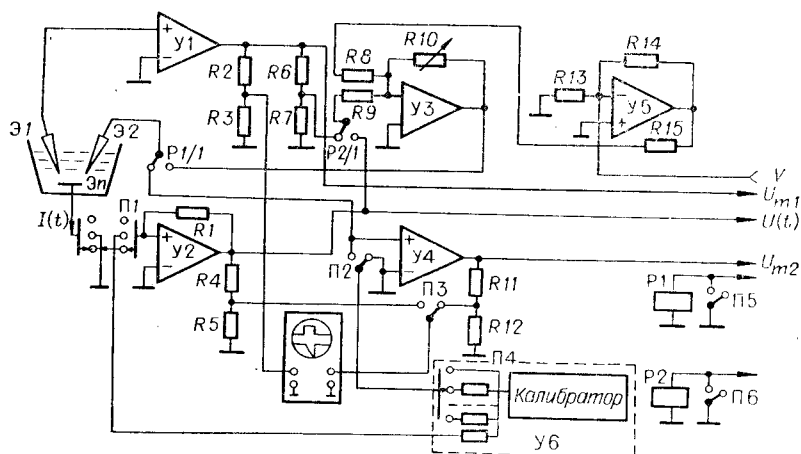


Рис. 1. Функциональная схема.

Рис. 2. Микроэлектродный усилитель:

$R_1 = 1 \text{ Ом}$ ,  $R_2, R_4 = 1 \text{ кОм}$ ,  $R_3 = 330 \text{ Ом}$ ,  $R_5 = 3 \text{ кОм}$ ,  $R_6 = 1,5 \text{ кОм}$ ,  $R_7 = 93 \text{ кОм}$ ,  $R_8 = 51 \text{ Ом}$ ,  $R_9 = 3,3 \text{ кОм}$ ,  $R_{10} = 30 \text{ кОм}$ ,  $R_{11} = 6,8 \text{ кОм}$ ,  $R_{12} = 220 \text{ Ом}$ ,  $R_{13} = 6,8 \text{ кОм}$ ,  $R_{14} = 3,1 \text{ кОм}$ ;  $C_1 = 1000 \text{ пФ}$ ,  $C_2 = 56 \text{ пФ}$ ,  $C_3, C_4 = 0,15 \text{ мкФ}$ ;  $\text{Др}1 = 200 \text{ мГц}$ ;  $T_1 = \text{КПС}104\text{Б}$ ,  $T_2 = \text{КИУ}531\text{В}$ .

С помощью реле Р1 и Р2 осуществляется включение режимов ФП или фиксации тока, причем Р2 задает схеме необходимый режим, а через Р1 производится включение этого режима на клетку. На рис. 1 оба режима показаны выключенными. Автоматическое управление от системы этиими реле обеспечивается через модуль «Выходной регистр». Через переключатели П5 и П6 экспериментатор получает возможность ручного управления режимами, которое имеет приоритет перед автоматическим.

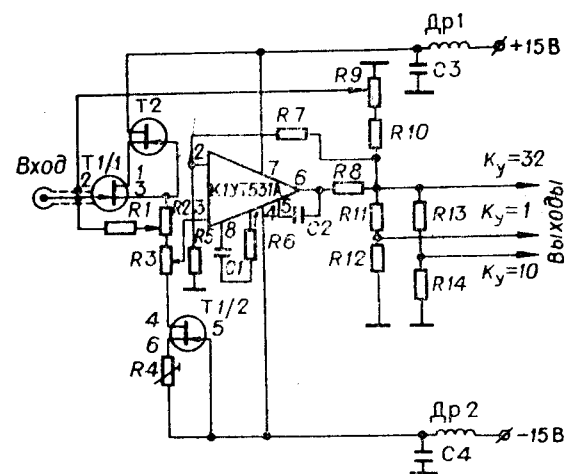
Рассмотрим более подробно отдельные узлы блока фиксации и в ходе этого проведем анализ его функционирования при работе с первыми клетками.

**Микроэлектродный усилитель** (рис. 2) предназначен для работы с высокоомными ( $1-50 \text{ МОм}$ ) электродами. Для увеличения входного сопротивления, уменьшения входных токов и шумов, а также компенсации входной емкости усилителя применена схема истокового повторителя на сдвоенном полевом транзисторе Т1 типа КПС-104А со стабилизатором тока [3]. Такая схема, кроме того, значительно уменьшает температурные и временные дрейфы входного каскада усилителя. Во втором каскаде использовалась микросхема К1УТ531А, осуществляющая усиление регистрируемого сигнала по напряжению ( $K_y = 32$ ). С помощью  $R_3$  регулируется «пуль» на выходе усилителя, а  $R_{13}$  и  $R_{14}$  обеспечивают получение  $K_y = 10$  для подключения осциллографа. С выхода усилителя через  $R_9$  подается сигнал положительной обратной связи для компенсации суммарной входной емкости усилителя, микроэлектрода с держателем и подводящего кабеля. Было изготовлено более десятка таких усилителей, которые имели следующие характеристики: входное сопротивление  $10^{10}-10^{11} \text{ Ом}$ , входной ток  $10^{-11}-10^{-12} \text{ А}$  (зависит от параметров микросхемы КПС-104А), температурный дрейф  $40 \text{ мкВ/}^{\circ}\text{C}$ , уровень шумов  $5 \text{ мкВ}$  (эффект), коэффициент усиления (основной) 32, полоса пропускания  $0-20 \text{ кГц}$ , выходное сопротивление  $100 \text{ Ом}$ . Конструктивно микроэлектродный усилитель выполнен в корпусе, обеспечивающем надежную экранировку.

**Схема сравнения и формирования сигнала ошибки** (рис. 3) обеспечивает сравнение регистрируемого на клетке и задаваемого потенциалов и усиление полученного сигнала их разности. Для сравнения потенциалов используется операционный усилитель в режиме сумматора, выполненный на микросхеме типа К1УТ531. Во втором каскаде осуществляется усиление найденной разности по напряжению.

Для получения в установившемся режиме погрешности фиксации потенциала и тока, не превышающей заданного значения, необходимо обеспечить соответствующий коэффициент усиления данной схемы. Относительная погрешность фиксации

$$\delta = (V - U_m)/U_m, \quad (1)$$



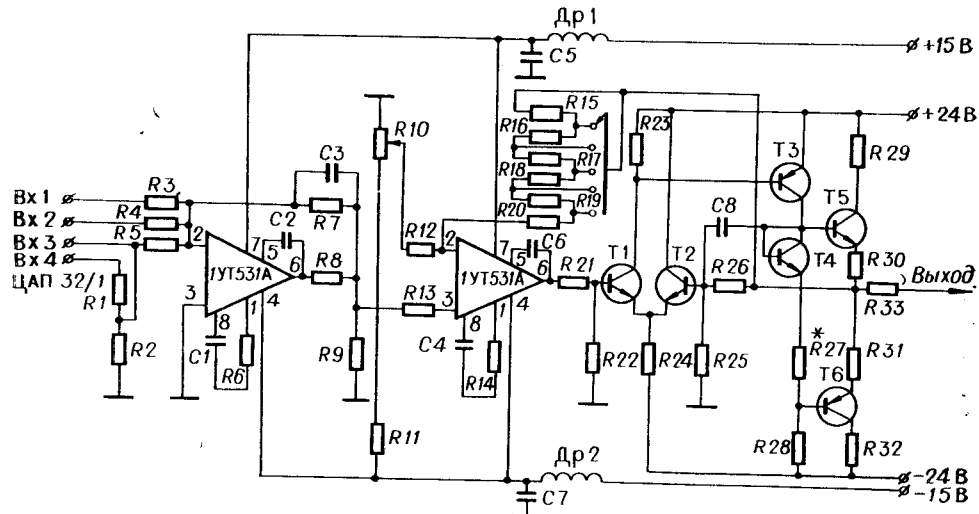


Рис. 3. Схема сравнения и формирования сигнала ошибки:

$R_1 = 1,1 \text{ кОм}$ ,  $R_2 = 360 \text{ мкОм}$ ,  $R_3 = R_5 = 10 \text{ кОм}$ ,  $R_6, R_{14} = 1,5 \text{ кОм}$ ,  $R_7 = 1 \text{ кОм}$ ,  $R_8, R_{21} = 51 \text{ Ом}$ ,  $R_9 = 2 \text{ кОм}$ ,  $R_{10} = 330 \text{ Ом}$ ,  $R_{11} = 8 \text{ кОм}$ ,  $R_{12} = R_{13} = 10 \text{ кОм}$ ,  $R_{15} = R_{20} = 200 \text{ кОм}$ ,  $R_{22} = R_{25} = 5,1 \text{ кОм}$ ,  $R_{23} = 620 \text{ Ом}$ ,  $R_{24} = 11 \text{ кОм}$ ,  $R_{26} = 30 \text{ кОм}$ ,  $R_{27} = 280 \text{ Ом}$ ,  $R_{28} = 11 \text{ кОм}$ ,  $C_7 = 0,15 \text{ мкФ}$ ,  $C_8 = 51 \text{ пФ}$ ;  $\text{Др1}, \text{Др2} = 200 \text{ мкГн}$ ;  $T_1, T_2, T_4, T_5 = \text{KT315И}$ ,  $T_3, T_6 = \text{KT361В}$ .

где  $U_m$  — мембранный потенциал,  $V$  — задаваемый потенциал (командный). Уравнение, описывающее режим фиксации [3]:

$$K(V - U_m) = R_s I + R_m I. \quad (2)$$

Здесь  $K$  — коэффициент усиления;  $R_s$  — сопротивление микроэлектрода;  $I$  — ток, протекающий через микроэлектрод и мембрану;  $R_m$  — сопротивление мембраны.

На основании (1) и (2)

$$K = ((R_s/R_m) + 1)/\delta. \quad (3)$$

При  $\delta = 1\%$ ,  $R_s = 10^7 \text{ Ом}$ ,  $R_m = 10^5 \div 10^8 \text{ Ом}$   $K$  должен быть  $100 \div 10000$  соответственно.

В петле обратной связи устройства ФП, имеющей значительный  $K$ , могут возникнуть автоколебания. Для их подавления требуется, чтобы постоянная времени  $\tau_h$  «нагрузки» (мембрана — микроэлектрод) была много больше, чем постоянная времени усилителя  $\tau_y$ . В работе [4] для устранения автоколебаний рекомендуется выполнять соотношение

$$\tau_h/\tau_y \approx 4K, \quad (4)$$

где

$$\tau_h = (R_m + R_s)C_m. \quad (5)$$

Реально  $\tau_y$  имеет величину значительно меньше, чем  $\tau_h$ .

На основании (4) и (5) для устранения возбуждения существенную роль играют  $K$  и  $R_s$ . Поэтому при работе с клетками, имеющими различные сопротивления мембранны во втором каскаде схемы, предусмотрена ступенчатая регулировка  $K(4, 8, 16, 32, 64, 128)$ .

В экспериментальных измерениях характеристика методом ФП на мембрану подаются прямоугольные импульсы; и в этом случае важным параметром блока ФП является время установления потенциала на мембране ( $t$ ), которое определяется величиной емкости мембранны ( $C_m$ ) и допустимой величиной тока через микроэлектрод  $I_m$ :

$$t = U_m C_m / I_m. \quad (6)$$

Максимальные значения параметров в формуле (6) могут быть следую-

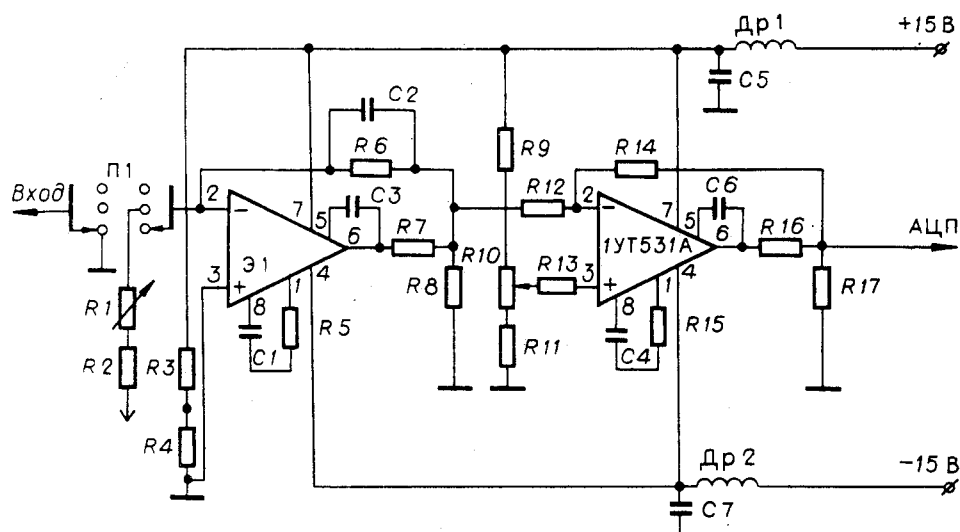


Рис. 4. Преобразователь тока:

$R_{12} = 470 \text{ кОм}$ ,  $R_2 = 1,8 \text{ кОм}$ ,  $R_3 = 15 \text{ кОм}$ ,  $R_4 = 20 \text{ Ом}$ ,  $R_5, R_{15} = 1,5 \text{ кОм}$ ,  $R_6 = 1 \text{ МОм}$ ,  $R_7, R_{16} = 51 \text{ Ом}$ ,  $R_8, R_{17} = 2 \text{ кОм}$ ,  $R_{12}, R_{13} = 20 \text{ кОм}$ ,  $R_9 = 10 \text{ кОм}$ ,  $R_{10} = 330 \text{ Ом}$ ,  $R_{11} = 150 \text{ Ом}$ ,  $R_{14} = 200 \text{ кОм}$ ;  $C_1, C_4 = 1000 \text{ пФ}$ ,  $C_2 = 20 \text{ пФ}$ ,  $C_3, C_6 = 47 \text{ пФ}$ ,  $C_5, C_7 = 0,15 \text{ мкФ}$ ;  $\text{Др}1, \text{Др}2 = 200 \text{ мкГн}$ ,  $\text{Э1} = \text{К1УД284А}$ .

щими: амплитуда импульса ( $U_m$ ), подаваемого на клетку, как правило, не превышает 100 мВ от потенциала покоя клетки; допустимое значение тока через микроэлектрод  $I_m = 10^{-6} \text{ А}$  [3]; емкость мембранны 10 000 пФ. На основании этого максимальное время установления мембранныго потенциала при указанных значениях не превышает 1 мс.

Выходное напряжение ( $U_{\text{вых}}$ ) этой схемы, обеспечивающее необходимый ток ( $I_m$ ) для удержания мембранныго потенциала на заданном уровне, можно определить из соотношения

$$U_{\text{вых}} = I_m(R_9 + R_m) \quad (7)$$

при  $I_m = 10^{-6} \text{ А}$ ,  $R_9 = R_m = 10 \text{ МОм}$ , выходное напряжение  $U_{\text{вых}} = 20 \text{ В}$ .

На выходе схемы сравнения и формирования сигнала ошибки применен балансный каскад с напряжением питания  $\pm 24 \text{ В}$ . Конструктивно узел выполнен в отдельном кожухе с разъемами для подключения микроэлектродного усилителя и управляющего сигнала.

**Преобразователь тока.** Для построения измерителей малых токов, имеющих небольшое входное сопротивление, широкое распространение находят устройства, использующие образцовый резистор, включенный в цепь отрицательной обратной связи операционного усилителя [5]. Схема разработанного преобразования тока, основанного на этом принципе, представлена на рис. 4, где в качестве резистора цепи обратной связи служит высокомоментное композиционное сопротивление (типа КВМ или КЛМ), имеющее температурный коэффициент 0,25%/ $^{\circ}\text{C}$  [5].

Эквивалентное входное сопротивление преобразователя  $R_{\text{вх}}$ , при котором максимальный ток, протекающий через мембрану, создает падение напряжения, не превышающее заданного значения  $U_{\text{доп}}$ , определяется из соотношения

$$U_{\text{доп}} \leq R_{\text{вх}} I_m. \quad (8)$$

Отсюда при  $I_m = 10^{-6} \text{ А}$  и  $U_{\text{доп}} = 1 \text{ мВ}$   $R_{\text{вх}}$  не должно превышать 1 кОм. Входное сопротивление устройства зависит от сопротивления резистора обратной связи  $R_6$  и коэффициента усиления схемы:

$$R_{\text{вх}} \geq R_6/K. \quad (9)$$

Для микросхемы типа К284УД1А, имеющей коэффициент усиления  $K_1 = (20-80)10^3$ ,  $R_6$  должно быть меньше  $20 \cdot 10^6 \text{ Ом}$ .

Минимальная величина тока, которая может быть измерена преобразователем тока, определяется его собственными шумами ( $i_{ш}$ ). Одна из компонент шума создается сопротивлением преобразующего резистора, и ее можно рассчитать по формуле Найквиста:

$$i_{ш} = \sqrt{(4kT\Delta f)/R}. \quad (10)$$

При  $R = 1$  МОм,  $T = 290$  К  $i_{ш} = 1,3 \cdot 10^{-11}$  А.

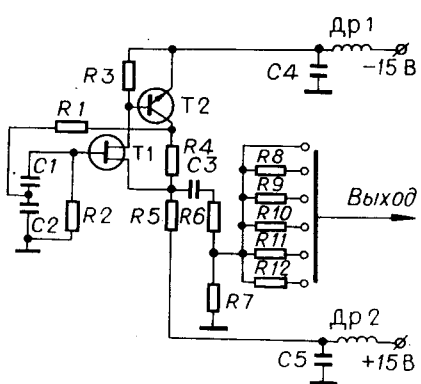
Для обеспечения необходимой полярности сигнала на выходе, калибровки преобразователя, коррекции его нуля введен второй каскад, работающий в режиме усиления по напряжению. Он выполнен на микросхеме К1УТ531А. Необходимое в этом случае значение коэффициента усиления второго каскада ( $K_2$ ) вычислим исходя из условия согласования со шкалой АЦП. Цена младшего разряда по напряжению используемого АЦП  $U_{MP} = 8$  мВ, а по току желательно иметь  $I_{MP} = 10^{-9}$  А. Тогда при  $R6 = 1$  МОм

$$K_2 = U_{MP}/I_{MP}R6 = 8. \quad (11)$$

При таком двухкаскадном построении преобразователя он может быть легко перестроен для измерения тока в другом диапазоне значений или при изменении значения младшего разряда АЦП.

Для учета шумового вклада всех элементов устройства было проведено экспериментальное измерение шумового тока (приведенного ко входу) схемы в целом. Измерения амплитуды шумовой полосы в области частот от 0,5 Гц до 50 кГц осуществлялись по осциллографу, подключенному к выходу преобразователя. Они проводились как при короткозамкнутом входе преобразователя, так и при подключении к нему синусоидального напряжения с генератора звукового диапазона через резистор, значение которого соответствовало сопротивлению мембранных клеток. В последнем случае подавался синусоидальный ток амплитуды  $10^{-9}$  А. Измеренная по осциллографу амплитуда шумовой полосы пересчитывалась в величину соответствующего входного тока, и она оказалась равной  $7 \cdot 10^{-11}$  А. Конструктивно преобразователь выполнен в отдельном кожухе с разъемами для подключения входного сигнала от клетки и двумя выходными разъемами: один для подключения осциллографа, другой для подключения к АЦП.

**Калибратор и измеритель сопротивления микроэлектродов.** При работе методом ФП важное значение имеет внутреннее сопротивление микроэлектродов. Проверку на пригодность микроэлектродов для работы целесообразно проводить непосредственно в экспериментальной установке после их закрепления. Кроме того, такая проверка устраивает возможность оставить незамеченной поломку кончиков микроэлектродов при переходе в процессе работы с одной клетки на другую. Для этих целей в блок ФП был введен специальный узел — измеритель сопротивления микроэлектродов (У6), имеющий в своем составе калибратор.



Калибратор (рис. 5) представляет собой генератор синусоидального напряжения частотой 10 Гц с амплитудой 100 мВ и предназначен, кроме того, для проверки микроэлектродных усилителей и преобразователя тока. Проверка преобразователя

Рис. 5. Калибратор:

$R_1 = 510$  кОм,  $R_2, R_8 = 1$  МОм,  $R_3 = 570$  Ом,  $R_4 = 10$  кОм,  $R_5 = 11,3$  кОм,  $R_6 = 100$  кОм,  $R_7 = 1$  кОм,  $R_9 = 1$  МОм,  $R_{10} = 2$  МОм,  $R_{11} = 4$  МОм,  $R_{12} = 8$  МОм,  $C_1 = 0,2$  мкФ,  $C_2 = 0,1$  мкФ,  $C_3 = 5,0$  мкФ,  $C_4, C_5 = 0,15$  мкФ;  $\text{Др}1, \text{Др}2 = 200$  мкГн;  $T_1 = \text{КП103}$ ,  $T_2 = \text{КТ315Г}$ .

проводится по осциллографу при подключении к его входу сигнала с калибратора через резистор сопротивлением 100 МОм. В этом случае на преобразователь подается синусоидальной формы сигнал тока с максимальной амплитудой  $10^{-9}$  А.

Измерение сопротивления микроэлектрода на переменном токе осуществляется следующим образом. В цепь микроэлектрода, опущенного в раствор, от калибратора через одно из эталонных сопротивлений подается сигнал. По экрану осциллографа, подключенного к выходу этого микроэлектродного усилителя, оценивается амплитуда регистрируемого сигнала. Номинал того из переключаемых эталонных сопротивлений, которое уменьшает амплитуду сигнала вдвое по сравнению с соединением без сопротивления, указывает величину сопротивления микроэлектрода. Ряд эталонных сопротивлений, подключаемых через переключатель, выбран соответствующим значениям сопротивлений микроэлектродов, обычно применяемых при работе с клетками нейронов (1, 2, 4, 8, 16 МОм). При таком способе измерения наличие некоторого потенциала и емкости у кончика микроэлектрода не оказывается на результатах измерения за счет того, что выбранные значения тока и частоты калибратора имеют малую величину [3].

Все описанные узлы блока фиксации объединены на одном шасси с общей передней панелью. Питание блока осуществляется от источника крейта КАМАК напряжением  $\pm 24$  В. Это напряжение в самом блоке фиксации дополнительно стабилизируется и фильтруется, а затем амплитудой  $\pm 15$  В подается для питания его узлов.

#### ЛИТЕРАТУРА

1. Ходоров Б. И. Общая физиология возбудимых мембран.— М.: Наука, 1975.
2. Буш А. В. и др. Система автоматизации исследований характеристик возбудимых мембран.— В кн.: Автоматизация эксперимента. Новосибирск: изд. ИАиЭ СО АН СССР, 1976, с. 184—189.
3. Приборы и методы для микроэлектродного исследования клеток/Под ред. Б. И. Венпринцева, И. В. Крастса.— Пущино: изд. Ин-та биол. физики, 1975, с. 42—61; 103—114; 149—160.
4. Катц Г. М., Швартц Г. Л. Некоторые проблемы и критерии клампирования потенциала возбудимых клеток.— В кн.: Достижения медицинской и биологической техники. М.: Медицина, 1971, с. 185—186.
5. Гутников В. С. Применение операционных усилителей в измерительной технике.— Л.: Энергия, 1975.

Поступила в редакцию 9 апреля 1979 г.